

УДК 531.3, 621.743

## КОЛЕБАНИЯ ОСНАЩЕННОГО СТЕРЖНЯ ПРИ ДЕЙСТВИИ НА ЕГО ТОРЕЦ УДАРНОГО ИМПУЛЬСА ПРЯМОУГОЛЬНОЙ ФОРМЫ

В.Э. Еремьянц, И.С. Дроздова

Решена задача о колебаниях оснащенного стержня с распределенными параметрами для случая, когда один конец стержня опирается на жесткую опору, а на другой конец действует ударный импульс прямоугольной формы. Найдены функции, описывающие изменение перемещений и усилий от времени в различных сечениях стержня.

*Ключевые слова:* оснащенный стержень; ударный импульс; колебания сечений; усилия; напряжения.

Одним из эффективных способов отделения отливок от литниковых стержней при точном литье по выплавляемым моделям является виброударный способ, суть которого заключается в следующем. Литейный блок устанавливается на опору (рисунок 1 а) и по его центральному литниковому стержню 1 наносится удар. При этом в стержне генерируются продольные волны деформаций, которые перемещают его сечения и возбуждают колебания отливок 2, связанных со стержнем питателями 3. При колебаниях в питателях возникают знакопеременные напряжения, приводящие к их разрушению и отделению отливок от стержня. Для того чтобы на отливках не оставалось остатков питателей, на питателях вблизи отливки делают концентратор напряжений в виде надреза. Разрушение питателя происходит по сечению с концентратором напряжений.

Совершенствование процесса виброударного отделения отливок предполагает исследование

ударных процессов в оснащенных стержнях, под которыми понимаются стержни, связанные упругими элементами с сосредоточенными массами, равномерно распределенными по длине стержня.

В работе [1] предложена модель оснащенного стержня с распределенными параметрами и решена задача об ударе оснащенный стержнем по жесткой преграде. В настоящей статье решается задача, более близкая к практике. Это задача о колебаниях оснащенного стержня, опирающегося на жесткую опору, при действии на его свободный торец ударного импульса прямоугольной формы.

В модели центральный стержень представлялся как упругое тело, к которому по всей длине с помощью упругих связей присоединены элементарные жесткие массы  $m_0$ , не связанные друг с другом (рисунок 1 б, в).

Перемещения сечений стержня обозначали через  $u_1(x, t)$ , а перемещения сосредоточенных масс – через  $u_2(x, t)$ , где  $x$  – координата сечения, отсчитываемая от верхнего конца стержня. В стержне выделяли элементарный участок длиной  $dx$  с массой  $m dx$  (рисунок 1 в), где  $m$  – погонная масса самого стержня. Этот участок связан с сосредоточенной массой величиной  $m_0 dx$  упругим элементом с жесткостью  $c dx$ , где  $m_0$  – величина сосредоточенных масс, приходящихся на единицу длины стержня;  $c$  – жесткость всех упругих связей, расположенных на единичной длине стержня.

Если масса самого стержня  $m_1$ , величина одной сосредоточенной массы  $m_2$ , а жесткость одной упругой связи сосредоточенной массы со стержнем  $c_0$ , то параметры модели связаны с параметрами оснащенного стержня соотношениями

$$m = m_1/l = \rho S, m_0 = nm_2/l, c = nc_0/l,$$

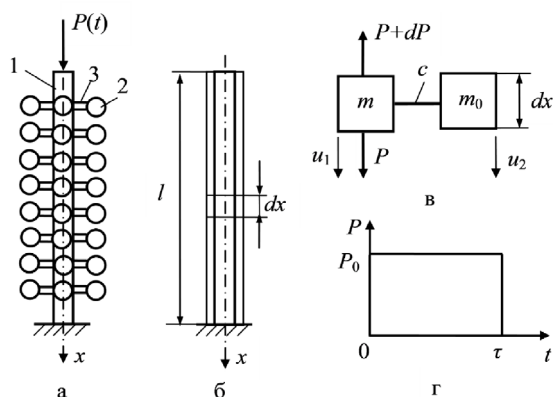


Рисунок 1

где  $\rho$  – плотность материала стержня;  $S$  – площадь поперечного сечения стержня;  $l$  – длина стержня;  $n$  – количество сосредоточенных масс;  $c_0$  – коэффициент жесткости упругой связи одной сосредоточенной массы со стержнем (коэффициент жесткости одного питателя).

Уравнения движения такой модели имеют вид

$$\frac{\partial^2 u_1}{\partial t^2} + k^2 (u_1 - u_2) - a^2 \frac{\partial^2 u_1}{\partial x^2} = 0, \quad (1)$$

$$\frac{\partial^2 u_2}{\partial t^2} + k_0^2 (u_1 - u_2) = 0, \quad (2)$$

где  $E$  – модуль упругости материала стержня;  $a$  – скорость распространения волны деформации в гладком упругом стержне

$$a = \sqrt{E / \rho}, \quad k^2 = c / m, \quad k_0^2 = c / m_0.$$

Выразив из уравнения (1):

$$u_2 = u_1 - \frac{a^2}{k^2} \frac{\partial^2 u_1}{\partial x^2} + \frac{1}{k^2} \frac{\partial^2 u_1}{\partial t^2}, \quad (3)$$

и подставив в уравнение (2), можно получить уравнение движения, содержащее только одну неизвестную  $u_1(x, t)$

$$\frac{\partial^4 u_1}{\partial t^4} - a^2 \frac{\partial^4 u_1}{\partial x^2 \partial t^2} + (k^2 + k_0^2) \frac{\partial^2 u_1}{\partial t^2} - k_0^2 a^2 \frac{\partial^2 u_1}{\partial x^2} = 0. \quad (4)$$

Допустим, что на свободный торец оснащенного стержня, опирающегося на жесткую опору, действует ударный импульс прямоугольной формы (рисунок 1 г), описываемый функцией

$$P(0, t) = P_0, \quad 0 < t < \tau; \\ P(0, t) = 0, \quad \tau < t.$$

Для решения задачи о вынужденных колебаниях стержня под действием этой силы воспользуемся методом главных координат, разложив движение сечений стержня по собственным формам и частотам.

При нахождении собственных форм и частот примем, что решение уравнения (4) при свободных колебаниях имеет вид

$$u_1(x, t) = X(x) \cos(pt + \varphi), \quad (5)$$

где  $X(x)$  – амплитудная функция, зависящая от координаты  $x$  и не зависящая от времени;  $\cos(pt + \varphi)$  – главная координата, зависящая только от времени.

Подставляя решение (5) в уравнение (4) и сокращая все члены на  $\cos(pt + \varphi)$ , приведем его к виду

$$X'' + \beta^2 X = 0, \quad (6)$$

где

$$X'' = \frac{\partial^2 X}{\partial x^2}, \quad \beta^2 = \frac{p^2}{a^2} \left( 1 - \frac{k^2}{p^2 - k_0^2} \right). \quad (7)$$

Решением этого уравнения является функция

$$X(x) = A \sin \beta x + B \cos \beta x, \quad (8)$$

где  $A$  и  $B$  постоянные, определяемые из граничных условий задачи.

При свободном верхнем торце стержня и жесткой опоре нижнего торца граничные условия запишутся в виде

$$X'(0) = 0, \quad X(l) = 0. \quad (9)$$

Подставляя в эти условия решение (8), найдем:  $A = 0, B \cos \beta l = 0$ . Так как  $B \neq 0$ , то граничные условия выполняются при следующих значениях  $\beta$ :

$$\beta_s = (2s - 1) \pi / 2l, \quad s = 1, 2, 3, \dots \quad (10)$$

При известном значении  $\beta_s$  собственные частоты колебаний стержня находятся из выражения (7) как

$$p_s = \sqrt{\frac{1}{2} (a^2 \beta_s^2 + k_0^2 + k^2) \pm \sqrt{\frac{1}{4} (a^2 \beta_s^2 + k_0^2 + k^2)^2 - a^2 \beta_s^2 k_0^2}}. \quad (11)$$

Из полученной формулы видно, что в данном случае существуют два спектра собственных частот. Нижний спектр  $p_{s1}$ , соответствующий знаку минус в выражении (11) и верхний спектр  $p_{s2}$ , соответствующий знаку плюс.

В работе [1] показано, что верхний спектр частот определяется в основном собственными колебаниями центрального стержня, а нижний спектр – собственными колебаниями сосредоточенных масс относительно центрального стержня.

Формы колебаний определяются как

$$X_{s1}(x) = B_{s1} \cos \beta_s x, \quad X_{s2}(x) = B_{s2} \cos \beta_s x.$$

В безразмерном виде они описываются одинаковой функцией:

$$X_{s1}(x) = X_{s2}(x) = X_s(x) = \cos \beta_s x. \quad (12)$$

Частное решение уравнения движения (4) для функции  $u_1(x, t)$  при свободных колебаниях стержня запишется в виде

$$u_{1s}(x, t) = \cos \beta_s x [B_{s1} \cos(p_{s1}t + \varphi_{s1}) + B_{s2} \cos(p_{s2}t + \varphi_{s2})]. \quad (13)$$

Подставляя это решение в соотношение (3), получим частное решение при свободных колебаниях стержня для функции  $u_2(x, t)$ :

$$u_{2s}(x, t) = \cos \beta_s x [B_{s1} \lambda_{s1} \cos(p_{s1}t + \varphi_{s1}) + B_{s2} \lambda_{s2} \cos(p_{s2}t + \varphi_{s2})], \quad (14)$$

где

$$\lambda_{s1} = 1 + \frac{a^2 \beta_s^2 - p_{s1}^2}{k^2}, \quad \lambda_{s2} = 1 + \frac{a^2 \beta_s^2 - p_{s2}^2}{k^2}. \quad (15)$$

При вынужденных колебаниях стержня под действием внезапно приложенной силы  $P$  примем, что решения уравнения движения (4) на интервале времени  $0 < t < \tau$  имеют вид

$$u_1(x, t) = \sum_{s=1}^{\infty} X_s(x) [q_{1s1}(t) + q_{1s2}(t)], \quad (16)$$

$$u_2(x, t) = \sum_{s=1}^{\infty} X_s(x) [\lambda_{s1} q_{1s1}(t) + \lambda_{s2} q_{1s2}(t)], \quad (17)$$

где  $X_s(x)$  – амплитудная функция или форма колебаний, которая имеет вид (12);  $q_{1s1}, q_{1s2}$  – главные координаты, соответствующие нижнему и верхнему спектрам собственных частот.

Главные координаты находятся из дифференциального уравнения

$$\ddot{q}_s + p_s^2 q_s = \frac{Q_s}{M_s}, \quad (18)$$

где  $Q_s$  – обобщенная сила, равная сумме работ всех внешних сил при данной форме колебаний на перемещениях точек их приложения;  $M_s$  – обобщенная масса:

$$M_s = \int_0^l (m + m_0) X_s^2(x) dx. \quad (19)$$

В рассматриваемом случае на интервале времени  $0 < t < \tau$

$Q_s = P_0 X_s(0) = P_0$ ,  $M_s = (m + m_0) \int_0^l \cos^2 \beta_s x dx = (m + m_0) l / 2$ , и уравнение (18) для нижнего и верхнего спектров частот запишется так:

$$\ddot{q}_{1s1} + p_{s1}^2 q_{1s1} = \frac{2P_0}{(m + m_0)l}, \quad \ddot{q}_{1s2} + p_{s2}^2 q_{1s2} = \frac{2P_0}{(m + m_0)l}. \quad (20)$$

Решениями этих уравнений являются функции

$$q_{1s1}(t) = B_{s1} \cos(p_{s1}t + \varphi_{s1}) + \frac{2P_0}{p_{s1}^2(m + m_0)l}, \quad (21)$$

$$q_{1s2}(t) = B_{s2} \cos(p_{s2}t + \varphi_{s2}) + \frac{2P_0}{p_{s2}^2(m + m_0)l}. \quad (22)$$

Постоянные коэффициенты  $B_{s1}$ ,  $B_{s2}$ ,  $\varphi_{s1}$ ,  $\varphi_{s2}$  находятся из начальных условий. Примем, что в начальный момент времени перемещения и скорости сечений оснащенного стержня равны нулю, т. е.

$$u_1(0) = u_2(0) = 0, \quad \dot{u}_1(0) = \dot{u}_2(0) = 0.$$

В системах с распределенными параметрами главные координаты связаны с физическими координатами соотношениями

$$q_s(t) = \frac{1}{M_s} \int_0^l (m + m_0) X_s(x) u(t) dx,$$

$$\dot{q}_s(t) = \frac{1}{M_s} \int_0^l (m + m_0) X_s(x) \dot{u}(t) dx,$$

из которых при принятых начальных условиях, следует:

$$q_{1s1}(0) = 0, \quad q_{1s2}(0) = 0, \quad \dot{q}_{1s1}(0) = 0, \quad \dot{q}_{1s2}(0) = 0.$$

Подставляя в эти соотношения решения (21), (22), получим систему уравнений:

$$B_{s1} \cos \varphi_{s1} + \frac{2P_0}{p_{s1}^2(m + m_0)l} = 0,$$

$$B_{s2} \cos \varphi_{s2} + \frac{2P_0}{p_{s2}^2(m + m_0)l} = 0,$$

$$B_{s1} p_{s1} \sin \varphi_{s1} = 0, \quad B_{s2} p_{s2} \sin \varphi_{s2} = 0.$$

Так как  $B_{s1}$  и  $B_{s2}$  не равны нулю, то из двух последних выражений следует:  $\varphi_{s1} = 0$ ,  $\varphi_{s2} = 0$ , а из первых двух выражений

$$B_{s1} = -\frac{2P_0}{p_{s1}^2(m + m_0)l}, \quad B_{s2} = -\frac{2P_0}{p_{s2}^2(m + m_0)l}.$$

С учетом этого главные координаты (21), (22) запишутся в виде

$$q_{1s1}(t) = \frac{2P_0}{p_{s1}^2(m + m_0)l} (1 - \cos p_{s1}t), \quad (23)$$

$$q_{1s2}(t) = \frac{2P_0}{p_{s2}^2(m + m_0)l} (1 - \cos p_{s2}t). \quad (24)$$

а функции перемещений (16), (17) примут вид

$$u_1(x, t) = \frac{2P_0}{(m + m_0)l} \sum_{s=1}^{\infty} \frac{\cos \beta_s x}{p_{s1}^2} \left[ 1 - \cos p_{s1}t + \frac{p_{s1}^2}{p_{s2}^2} (1 - \cos p_{s2}t) \right], \quad (25)$$

$$u_2(x, t) = \frac{2P_0}{(m + m_0)l} \sum_{s=1}^{\infty} \frac{\lambda_{s1}}{p_{s1}^2} \cos \beta_s x \left[ 1 - \cos p_{s1}t + \frac{\lambda_{s2} p_{s1}^2}{\lambda_{s1} p_{s2}^2} (1 - \cos p_{s2}t) \right].$$

При этом усилия в упругих связях  $F_y$  и сечениях центрального стержня  $P_c$  определяются как

$$F_y(x, t) = c_0 [u_1(x, t) - u_2(x, t)], \quad P_c(x, t) = ma^2 \frac{\partial u_1}{\partial x}. \quad (26)$$

После подстановки в эти выражения функций (25), окончательно получим:

$$F_y(x, t) = \frac{2P_0 c_0}{(m + m_0)l} \sum_{s=1}^{\infty} \cos \beta_s x \left[ \frac{(1 - \lambda_{s1})}{p_{s1}^2} (1 - \cos p_{s1}t) + \frac{(1 - \lambda_{s2})}{p_{s2}^2} (1 - \cos p_{s2}t) \right], \quad (27)$$

$$P_c(x, t) = -\frac{2P_0 ma^2}{(m + m_0)l} \sum_{s=1}^{\infty} \frac{\beta_s}{p_{s1}^2} \sin \beta_s x \times \left[ 1 - \cos p_{s1}t + \frac{p_{s1}^2}{p_{s2}^2} (1 - \cos p_{s2}t) \right]. \quad (28)$$

Знак минус перед правой частью последнего равенства показывает, что в сечениях стержня действуют усилия сжатия.

С учетом полученных формул напряжения в упругих связях сосредоточенных масс со стержнем  $\sigma_y$  и напряжения в сечениях центрального стержня  $\sigma_c$  определяются как

$$\sigma_y(x, t) = \frac{F_y R}{W}, \quad \sigma_c(x, t) = \frac{P_c}{S}, \quad (29)$$

где  $R$  – расстояние от центра тяжести сосредоточенной массы до рассматриваемого сечения в упругой связи;  $W$  – момент сопротивления изгибу рассматриваемого сечения;  $S$  – площадь поперечного сечения центрального стержня.

Полученное решение справедливо для интервала времени  $0 < t < \tau$ , пока на стержень действует внешняя сила  $P_0$ . При  $t > \tau$  стержень совершает свободные колебания с начальными условиями, определяемыми из формул (25) при  $t = \tau$ .

Поскольку по окончании действия силы  $P_0$  граничные условия не меняются до тех пор, пока в сечении  $x = l$  не появятся растягивающие силы, свидетельствующие об отходе стержня от опоры, решения уравнений движения при свободных колебаниях стержня будут иметь вид (13), (14). При этом главные координаты будут описываться выражениями  $q_{2s1}(t) = B_{s1} \cos(p_{s1}t + \varphi_{s1})$ ,  $q_{2s2}(t) = B_{s2} \cos(p_{s2}t + \varphi_{s2})$ . (30)

Таблица 1 – Значения параметра  $\beta_s$ , собственных частот  $p_{s1}$  и  $p_{s2}$  и отношений их квадратов для первых восьми форм колебаний

$s$	1	2	3	4	5	6	7	8
$\beta_s, \text{м}^{-1}$	4,245	12,736	21,227	29,718	38,208	46,699	55,190	63,675
$p_{s1} \cdot 10^{-4}, \text{с}^{-1}$	0,902	1,021	1,030	1,033	1,0342	1,0348	1,0350	1,0352
$p_{s2} \cdot 10^{-4}, \text{с}^{-1}$	2,502	6,637	10,958	15,302	19,652	24,007	28,363	32,720
$\lambda_{s1}$	4,145	34,342	95,086	232,80	307,72	459,62	641,90	854,39
$\lambda_{s2}$	-0,205	-0,023	-0,013	-0,023	-0,012	-0,042	-0,045	-0,204
$p_{s1}^2 / p_{s2}^2$	0,130	0,0237	0,0088	0,0046	0,0028	0,0019	0,0013	0,0010

Постоянные величины  $B$  и  $\varphi$ , входящие в эти выражения, определяются из начальных условий. Введем новую переменную времени  $t^* = t - \tau$  и запишем начальные условия в виде

$$\begin{aligned} q_{2s1}(0) + q_{2s2}(0) &= q_{1s1}(\tau) + q_{1s2}(\tau), \\ \dot{q}_{2s1}(0) + \dot{q}_{2s2}(0) &= \dot{q}_{1s1}(\tau) + \dot{q}_{1s2}(\tau), \\ \lambda_{s1} q_{2s1}(0) + \lambda_{s2} q_{2s2}(0) &= \lambda_{s1} q_{2s1}(\tau) + \lambda_{s1} q_{2s2}(\tau), \\ \lambda_{s1} \dot{q}_{2s1}(0) + \lambda_{s2} \dot{q}_{2s2}(0) &= \lambda_{s1} \dot{q}_{2s1}(\tau) + \lambda_{s1} \dot{q}_{2s2}(\tau). \end{aligned}$$

После подстановки в эти условия выражений (23), (24), (30), получим систему уравнений, из которой найдем:

$$\begin{aligned} B_{s1} &= \frac{2P_0}{(m+m_0)lp_{s1}^2} \sin\left(\frac{p_{s1}\tau}{2}\right), \\ B_{s2} &= \frac{2P_0}{(m+m_0)lp_{s2}^2} \sin\left(\frac{p_{s2}\tau}{2}\right), \\ \varphi_{s1} &= \frac{\pi}{2} - \frac{p_{s1}\tau}{2}, \quad \varphi_{s2} = \frac{\pi}{2} - \frac{p_{s2}\tau}{2}. \end{aligned}$$

С учетом этих постоянных главные координаты определяются как

$$q_{2s1} = \frac{2P_0}{(m+m_0)lp_{s1}^2} [\cos p_{s1}(t-\tau) - \cos p_{s1}t], \quad (31)$$

$$q_{2s2} = \frac{2P_0}{(m+m_0)lp_{s2}^2} [\cos p_{s2}(t-\tau) - \cos p_{s2}t], \quad (32)$$

а функции перемещений и усилий на интервале времени  $\tau < t < T$ , где  $T$  – момент времени, соответствующий отскоку стержня от опоры, будут иметь вид

$$\begin{aligned} u_1(x,t) &= \frac{2P_0}{(m+m_0)l} \sum_{s=1}^{\infty} \cos \beta_s x \left[ \frac{1}{p_{s1}^2} [\cos p_{s1}(t-\tau) - \cos p_{s1}t] + \right. \\ &\quad \left. + \frac{1}{p_{s2}^2} [\cos p_{s2}(t-\tau) - \cos p_{s2}t] \right], \quad (33) \end{aligned}$$

$$\begin{aligned} u_2(x,t) &= \frac{2P_0}{(m+m_0)l} \sum_{s=1}^{\infty} \cos \beta_s x \left[ \frac{\lambda_{s1}}{p_{s1}^2} [\cos p_{s1}(t-\tau) - \cos p_{s1}t] + \right. \\ &\quad \left. + \frac{\lambda_{s2}}{p_{s2}^2} [\cos p_{s2}(t-\tau) - \cos p_{s2}t] \right], \quad (34) \end{aligned}$$

$$\begin{aligned} F_y(x,t) &= \frac{2P_0 c_0}{(m+m_0)l} \sum_{s=1}^{\infty} \cos \beta_s x \left[ \frac{1-\lambda_{s1}}{p_{s1}^2} [\cos p_{s1}(t-\tau) - \cos p_{s1}t] + \right. \\ &\quad \left. + \frac{1-\lambda_{s2}}{p_{s2}^2} [\cos p_{s2}(t-\tau) - \cos p_{s2}t] \right], \quad (35) \end{aligned}$$

$$\begin{aligned} P_c(x,t) &= -\frac{2P_0 m a^2}{(m+m_0)l} \sum_{s=1}^{\infty} \beta_s \sin \beta_s x \left[ \frac{1}{p_{s1}^2} [\cos p_{s1}(t-\tau) - \cos p_{s1}t] + \right. \\ &\quad \left. + \frac{1}{p_{s2}^2} [\cos p_{s2}(t-\tau) - \cos p_{s2}t] \right]. \quad (36) \end{aligned}$$

При этом напряжения в упругих связях и в сечениях стержня по-прежнему находятся по формулам (29).

В качестве примера рассмотрим оснащенный стержень со следующими параметрами [1]:  $m = 8,898 \text{ кг/м}$ ,  $m_0 = 10,378 \text{ кг/м}$ ,  $l = 0,37 \text{ м}$ ,  $a = 5135 \text{ м/с}$ ,  $c = 1,114 \cdot 10^9 \text{ Н/м}$ ,  $c_0 = 6,438 \cdot 10^6 \text{ Н/м}$ ,  $k = 1,1187 \cdot 10^4 \text{ с}^{-1}$ ,  $k_0 = 1,0359 \cdot 10^4 \text{ с}^{-1}$ .

Из данных таблицы 1 видно, что частота, а следовательно, и форма гармоник нижнего спектра меняется незначительно. По сути это одна гармоника, связанная с колебаниями сосредоточенных масс относительно стержня. Поэтому при расчетах в разложениях функций перемещений и сил гармонику с низшей частотой необходимо учитывать только один раз при  $s=1$ .

На рисунке 2 приведены первые пять форм колебаний рассматриваемого стержня с гармониками высшего спектра (номера кривых соответствуют номерам форм), а на рисунке 3 сумма первых пяти (кривая 1) и первых десяти (кривая 2) форм.

На этих рисунках видно, что в основном характер колебаний определяется первыми пятью формами. Последующие формы уточняют этот характер только вблизи верхнего торца стержня, на котором, строго говоря, усилие должно быть равно  $P_0$ . Расчеты показывают, для того чтобы усилие в стержне было равно  $P_0$  на расстоянии менее 5 мм от верхнего торца необходимо удержать в разложении более 40 гармоник.

В этом заключается один из недостатков метода разложения вынужденных колебаний по собственным формам и частотам. Он дает медленно

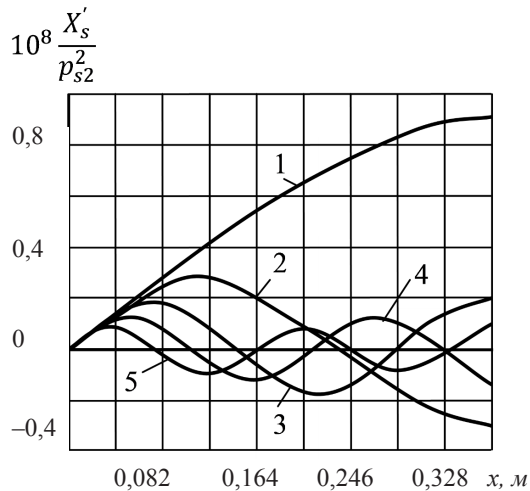


Рисунок 2

сходящиеся ряды при резком изменении внешних сил. Тем не менее, полученные в данной работе соотношения позволяют проводить анализ влияния различных факторов на колебания и прочность оснащенных стержней при импульсных нагрузках.

#### Литература

1. Еремьянц В.Э. Модель оснащенного стержня с распределенными параметрами / В.Э. Еремьянц, И.С. Дроздова // Современные проблемы механики сплошной среды. Вып. 16. Бишкек: НАН КР, 2012. С. 285–290.

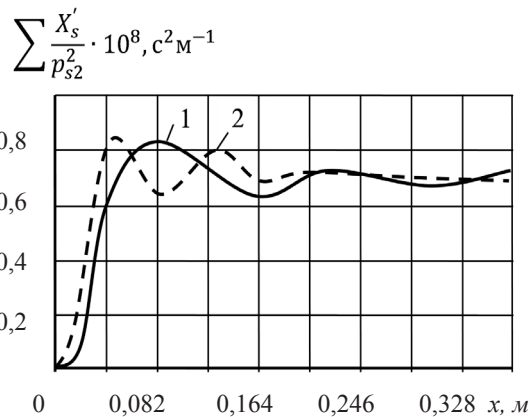


Рисунок 3

мьянц, И.С. Дроздова // Современные проблемы механики сплошной среды. Вып. 16. Бишкек: НАН КР, 2012. С. 285–290.

2. Еремьянц В.Э. Расчет собственных форм и частот колебаний оснащенного стержня, описываемого различными моделями / В.Э. Еремьянц, И.С. Дроздова, Г.М. Муктарбекова // Современные проблемы механики сплошной среды: тр. межд. научн. конф. Бишкек: НАН КР, 2012. С. 374–378.